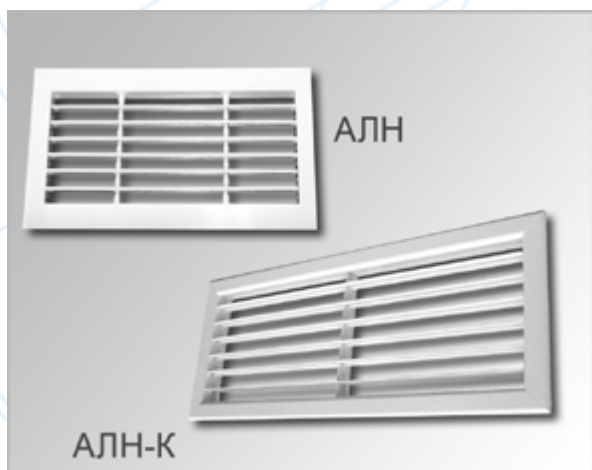


Решётки с фиксированными жалюзи АЛН, АЛР, АВН, АВР, АЛН-К, АЛР-К, АВН-К, АВР-К



Решётки АЛН, АЛР, АВН, АВР, АЛН-К, АЛР-К, АВН-К, АВР-К предназначены для подачи и удаления воздуха системами вентиляции и кондиционирования в помещениях различного назначения.

Решётки АЛН-К, АЛР-К, АВН-К, АВР-К отличаются от АЛН, АЛР, АВН, АВР дизайном и размерами.

Решётки АЛН, АЛР, АЛН-К, АЛР-К снабжены одним рядом неподвижных горизонтальных жалюзи. В решётках АВН, АВН-К, АВР, АВР-К фиксированные жалюзи установлены под углом 30° к горизонтальной плоскости.

Решётки АЛР, АЛР-К, АВР, АВР-К дополнительно оснащены регулятором расхода воздуха. Регулирование расхода осуществляется вручную, без использования инструмента, при помощи специального флажкового механизма.

Настенный монтаж к воздуховодам производится с помощью установленных на боковых стенках решётки пружинных фиксаторов. Потолочный монтаж рекомендуется произ-

водить с помощью самонарезающих винтов. С целью удобства установки решётки могут дополнительно комплектоваться монтажной рамкой (РМУ).

Минимальный размер решётки 100 x 100 мм, шаг - 50 мм. Максимальный размер для решёток АЛН, АЛР, АВН, АВР в соответствии с таблицей (стр. 20-21), для решёток АЛН-К, АЛР-К, АВН-К, АВР-К в соответствии с таблицей (стр. 25). Возможно изготовление решёток с нестандартным шагом.

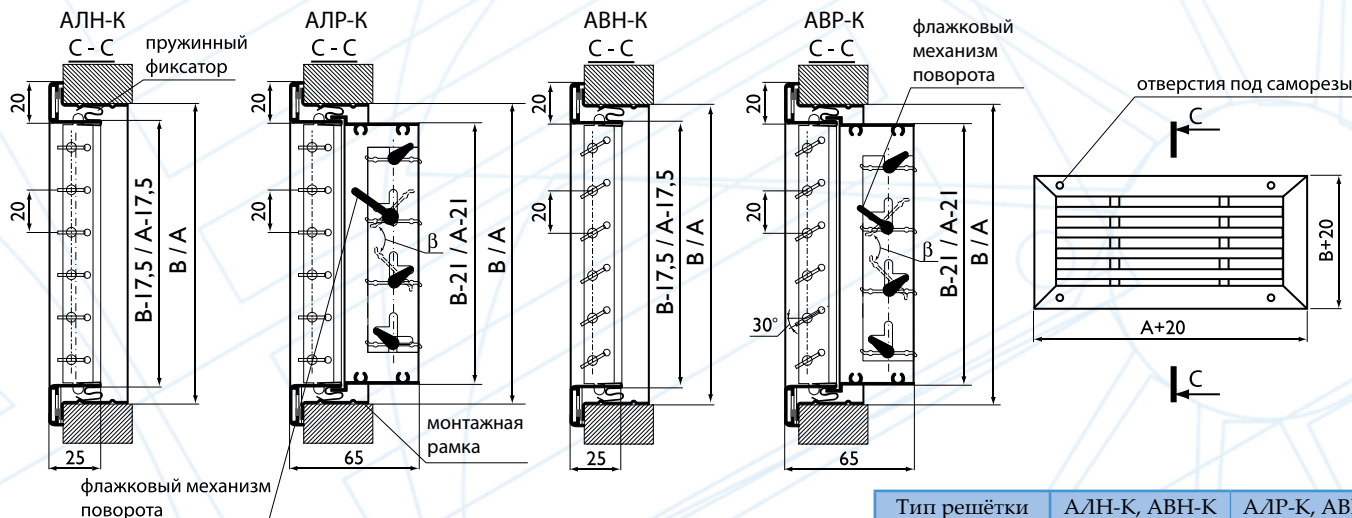
При размере А(В) ≥ 500 мм для обеспечения прочности конструкции в решётках устанавливается перемычка.

На заводе постоянно поддерживается складская программа, позволяющая оперативно комплектовать заказы.

Решётки изготавливаются из алюминия и окрашиваются методом порошкового напыления в белый цвет (RAL 9016). При изготовлении на заказ возможна окраска в любой цвет по каталогу RAL или текстурирование (см. Приложение).

Решётки АЛН-К, АЛР-К, АВН-К, АВР-К

Конструктивные схемы решёток АЛН-К, АЛР-К, АВН-К, АВР-К



Тип решётки	АЛН-К, АВН-К	АЛР-К, АВР-К
$K_{ж.с} = F_{ж.с} / F_0$	0,80	0,65

Характеристики решёток АЛН-К, АЛР-К, АВН-К, АВР-К

параметры	A, мм																							
	B, мм	100	150	200	250	300	350	400	450	500	550	600	650	700	750	800	850	900	950	1000	1050	1100	1150	1200
Масса, кг	$F_0, м^2$	0,006	0,010	0,014	0,018	0,022	0,026	0,030	0,034	0,039	0,042	0,047	0,050	0,054	0,058	0,062	0,066	0,070	0,074	0,078	0,082	0,086	0,090	0,094
	АЛН-К, АВН-К	0,17	0,20	0,23	0,27	0,30	0,34	0,37	0,41	0,44	0,48	0,51	0,54	0,58	0,62	0,65	0,69	0,73	0,76	0,79	0,83	0,86	0,89	0,93
	АЛР-К, АВР-К	0,25	0,33	0,39	0,46	0,53	0,60	0,68	0,76	0,83	0,95	0,98	1,05	1,13	1,16	1,20	1,32	1,43	1,50	1,58	1,68	1,79	1,79	1,74
Масса, кг	$F_0, м^2$	0,010	0,017	0,023	0,030	0,036	0,043	0,050	0,056	0,063	0,069	0,076	0,082	0,089	0,095	0,102	0,108	0,114	0,121	0,127	0,134	0,140	0,147	0,153
	АЛН-К, АВН-К	0,20	0,24	0,28	0,32	0,36	0,40	0,45	0,49	0,53	0,58	0,62	0,66	0,71	0,75	0,79	0,84	0,88	0,92	0,97	1,01	1,05	1,09	1,13
	АЛР-К, АВР-К	0,32	0,42	0,50	0,58	0,68	0,76	0,86	0,97	1,06	1,16	1,28	1,37	1,47	1,56	1,65	1,75	1,84	1,93	2,02	2,12	2,21	2,30	2,42
Масса, кг	$F_0, м^2$	0,014	0,023	0,032	0,041	0,050	0,059	0,069	0,077	0,087	0,095	0,105	0,113	0,123	0,131	0,141	0,149	0,158	0,167	0,177	0,185	0,194	0,203	0,212
	АЛН-К, АВН-К	0,24	0,29	0,34	0,39	0,45	0,50	0,56	0,61	0,66	0,72	0,77	0,82	0,87	0,94	0,99	1,06	1,11	1,16	1,21	1,26	1,31	1,37	1,42
	АЛР-К, АВР-К	0,40	0,52	0,62	0,73	0,84	0,95	1,07	1,24	1,35	1,47	1,56	1,68	1,78	1,91	2,03	2,20	2,36	2,48	2,59	2,71	2,82	2,82	2,97
Масса, кг	$F_0, м^2$	0,018	0,030	0,041	0,053	0,064	0,076	0,087	0,099	0,110	0,122	0,133	0,145	0,156	0,168	0,179	0,191	0,202	0,214	0,225	0,237	0,248	0,260	0,271
	АЛН-К, АВН-К	0,27	0,33	0,39	0,45	0,51	0,57	0,64	0,70	0,76	0,82	0,88	0,94	1,01	1,07	1,13	1,23	1,29	1,35	1,41	1,47	1,53	1,59	1,65
	АЛР-К, АВР-К	0,47	0,63	0,73	0,86	0,99	1,12	1,26	1,39	1,52	1,78	1,84	1,97	2,12	2,25	2,38	2,55	2,68	2,81	2,94	3,20	3,45	3,32	3,52
Масса, кг	$F_0, м^2$	0,022	0,036	0,050	0,064	0,079	0,092	0,107	0,120	0,135	0,148	0,163	0,176	0,191	0,204	0,219	0,232	0,246	0,260	0,275	0,288	0,302	0,316	0,330
	АЛН-К, АВН-К	0,31	0,38	0,45	0,52	0,59	0,66	0,75	0,82	0,89	0,96	1,03	1,10	1,19	1,26	1,33	1,41	1,48	1,55	1,62	1,69	1,76	1,82	1,89
	АЛР-К, АВР-К	0,55	0,71	0,85	1,00	1,15	1,30	1,47	1,63	1,78	1,92	2,15	2,30	2,47	2,62	2,78	2,95	3,10	3,25	3,40	3,54	3,68	3,92	4,07
Масса, кг	$F_0, м^2$	0,026	0,043	0,059	0,076	0,092	0,109	0,125	0,142	0,158	0,175	0,191	0,208	0,224	0,241	0,257	0,274	0,290	0,307	0,323	0,340	0,356	0,373	0,389
	АЛН-К, АВН-К	0,35	0,42	0,50	0,58	0,65	0,73	0,83	0,91	0,98	1,06	1,14	1,22	1,32	1,39	1,47	1,60	1,68	1,75	1,83	1,91	1,99	2,06	2,14
	АЛР-К, АВР-К	0,62	0,80	0,96	1,13	1,30	1,46	1,66	1,83	2,00	2,23	2,42	2,59	2,79	2,96	3,13	3,35	3,52	3,69	3,86	4,09	4,31	4,45	4,63
Масса, кг	$F_0, м^2$	0,030	0,050	0,069	0,087	0,107	0,125	0,144	0,163	0,182	0,201	0,220	0,239	0,258	0,277	0,296	0,315	0,334	0,353	0,372	0,391	0,410	0,429	0,448
	АЛН-К, АВН-К	0,39	0,47	0,56	0,65	0,74	0,82	0,94	1,02	1,11	1,20	1,29	1,38	1,49	1,58	1,66	1,78	1,87	1,95	2,04	2,12	2,21	2,30	2,38
	АЛР-К, АВР-К	0,70	0,90	1,08	1,27	1,46	1,65	1,87	2,06	2,25	2,51	2,73	2,92	3,14	3,33	3,53	3,75	3,94	4,12	4,31	4,56	4,82	4,98	5,18
Масса, кг	$F_0, м^2$	0,034	0,056	0,077	0,099	0,120	0,142	0,163	0,185	0,206	0,228	0,249	0,271	0,292	0,314	0,335	0,357	0,378	0,400	0,421	0,443	0,464	0,486	0,507
	АЛН-К, АВН-К	0,42	0,52	0,61	0,70	0,80	0,89	1,02	1,11	1,21	1,30	1,40	1,49	1,62	1,71	1,81	1,96	2,06	2,15	2,25	2,35	2,44	2,54	2,63
	АЛР-К, АВР-К	0,77	1,00	1,23	1,40	1,61	1,81	2,05	2,28	2,49	2,75	3,03	3,24	3,49	3,70	3,91	4,19	4,40	4,61	4,82	5,08	5,33	5,46	5,79
Масса, кг	$F_0, м^2$	0,039	0,063	0,087	0,110	0,135	0,158	0,182	0,206	0,230	0,254	0,278	0,302	0,326	0,350	0,374	0,398	0,422	0,446	0,470	0,494	0,518	0,542	0,566
	АЛН-К, АВН-К	0,46	0,57	0,67	0,78	1,00	0,99	1,13	1,23	1,34	1,44	1,55	1,65	1,79	1,90	2,00	2,15	2,25	2,36	2,46	2,57	2,67	2,77	2,88
	АЛР-К, АВР-К	0,85	1,09	1,36	1,54	1,89	2,00	2,26	2,49	2,73	3,03	3,32	3,55	3,82	4,05	4,28	4,55	4,78	5,01	5,24	5,54	5,84	6,02	6,29

Данные для подбора решёток АЛН-К, АЛР-К при подаче или удалении воздуха в помещениях

A × B, мм	F ₀ , м ²	L _{WA} < 20 дБ(A), ΔP _п ≤ 1 Па			L _{WA} ≤ 20 дБ(A)				L _{WA} = 25 дБ(A)				L _{WA} = 35 дБ(A)					L _{WA} = 45 дБ(A)			
		L _{0v} , м ³ /ч	Дальнобойность струи [м] при V _v м/с		L _{0v} , м ³ /ч	ΔP _п , Па	Дальнобойность струи [м] при V _v м/с		L _{0v} , м ³ /ч	ΔP _п , Па	Дальнобойность струи [м] при V _v м/с		L _{0v} , м ³ /ч	ΔP _п , Па	Дальнобойность струи [м] при V _v м/с			L _{0v} , м ³ /ч	ΔP _п , Па	Дальнобойность струи [м] при V _v м/с	
			0,2	0,5			0,2	0,5			0,2	0,5			0,2	0,5	0,75			0,5	0,75
200 × 100	0,014	30	2,1	0,8	190	10	13	5,4	240	16	17	6,8	350	35	25	9,9	6,6	510	74	14	9,6
300 × 100	0,022	50	2,8	1,1	270	8	15	6,1	330	13	19	7,4	490	28	28	11	7,3	710	58	16	11
400 × 100	0,030	65	3,1	1,3	350	8	17	6,7	430	11	21	8,3	630	25	30	12	8,1	910	51	18	12
500 × 100	0,039	80	3,4	1,4	420	6	18	7,1	520	10	22	8,8	760	21	32	13	8,6	1100	44	19	12
600 × 100	0,047	100	3,8	1,5	490	6	19	7,5	600	9	23	9,2	880	19	34	14	9,0	1280	41	20	13
150 × 150	0,017	35	2,2	0,9	210	8	13	5,4	260	13	17	6,6	390	29	25	10	6,6	560	60	14	9,5
300 × 150	0,036	75	3,3	1,3	380	6	17	6,7	470	9	21	8,3	690	20	30	12	8,1	1000	43	18	12
400 × 150	0,050	100	3,7	1,5	490	5	18	7,3	600	8	22	8,9	880	17	33	13	8,7	1280	36	19	13
500 × 150	0,063	130	4,3	1,7	590	5	20	7,8	730	7	24	9,7	1070	16	36	14	9,5	1550	34	21	14
600 × 150	0,076	150	4,5	1,8	690	5	21	8,3	850	7	26	10	1240	15	37	15	10	1800	31	22	15
700 × 150	0,089	170	4,7	1,9	790	4	22	8,8	970	7	27	11	1420	14	40	16	11	2050	29	23	15
800 × 150	0,102	200	5,2	2,1	890	4	23	9,3	1080	6	28	11	1590	13	41	17	11	2300	28	24	16
200 × 200	0,032	70	3,3	1,3	350	7	16	6,5	430	10	20	8,0	630	22	29	12	7,8	910	45	17	11
300 × 200	0,050	100	3,7	1,5	490	5	18	7,3	600	8	22	8,9	880	17	33	13	8,7	1280	36	19	13
400 × 200	0,069	130	4,1	1,6	620	4	20	7,9	770	7	24	9,8	1130	15	36	14	9,6	1630	31	21	14
500 × 200	0,087	160	4,5	1,8	750	4	21	8,5	930	6	26	11	1360	14	38	15	10	1970	28	22	15
600 × 200	0,105	200	5,1	2,1	890	4	23	9,2	1080	6	28	11	1590	13	41	16	11	2300	27	24	16
700 × 200	0,123	230	5,5	2,2	1010	4	24	9,6	1230	6	29	12	1810	12	43	17	11	2620	25	25	17
800 × 200	0,141	270	6,0	2,4	1130	4	25	10	1380	5	31	12	2020	11	45	18	12	2930	24	26	17
1000 × 200	0,177	340	6,7	2,7	1370	3	27	11	1660	5	33	13	2440	11	48	19	13	3540	22	28	19
300 × 300	0,079	150	4,4	1,8	690	4	20	8,2	850	6	25	10	1240	14	37	15	9,8	1800	29	21	14
400 × 300	0,107	200	5,1	2,0	890	4	23	9,1	1080	6	28	11	1590	12	41	16	11	2300	26	23	16
500 × 300	0,135	250	5,7	2,3	1070	3	24	9,7	1310	5	30	12	1920	11	44	17	12	2780	24	25	17
600 × 300	0,163	300	6,2	2,5	1250	3	26	10	1520	5	31	13	2240	10	46	18	12	3240	22	27	18
700 × 300	0,191	350	6,7	2,7	1420	3	27	11	1730	5	33	13	2550	10	49	19	13	3690	21	28	19
800 × 300	0,219	400	7,1	2,8	1590	3	28	11	1940	4	35	14	2850	9	51	20	14	4130	20	29	20
1000 × 300	0,275	500	7,9	3,2	1920	3	31	12	2340	4	37	15	3440	9	55	22	15	4980	18	32	21

При настилении струи на поверхность её дальность увеличивается в 1,4 раза.

В воздухораспределителях АЛР-К (с регулятором расхода) значения ΔP_п и L_{WA} (из таблицы и графика) корректируются:

$$\Delta P_{п}^{АЛР-К} = K \cdot \Delta P_{п}$$

$$L_{WA}^{АЛР-К} = L_{WA} + \Delta L_{WA}$$

% открытия регулятора расхода	100%	50%	30%
	β = 0°	β = 60°	β = 90°
K	1,3	4,8	12,4
ΔL _{WA}	7	14	26

**Данные для подбора решёток АВН-К, АВР-К
при подаче или удалении воздуха в помещениях**

A × B, мм	F ₀ , м ²	L _{WA} = 25 дБ(A)					L _{WA} = 35 дБ(A)					L _{WA} = 45 дБ(A)			
		L ₀ , м ³ /ч	ΔP _п , Па	Дальность струи [м] при V _{ср} , м/с			L ₀ , м ³ /ч	ΔP _п , Па	Дальность струи [м] при V _{ср} , м/с			L ₀ , м ³ /ч	ΔP _п , Па	Дальность струи [м] при V _{ср} , м/с	
				0,2	0,5	0,75			0,2	0,5	0,75			0,5	0,75
200 × 100	0,014	90	5	6,3	2,5	1,7	200	23	14	5,6	3,8	350	69	9,9	6,6
300 × 100	0,022	130	4	7,3	2,9	1,9	290	19	16	6,5	4,3	510	60	11	7,6
400 × 100	0,030	170	4	8,2	3,3	2,2	370	17	18	7,1	4,7	670	55	13	8,6
500 × 100	0,039	210	3	8,9	3,5	2,4	460	15	19	7,8	5,2	810	48	14	9,1
600 × 100	0,047	250	3	9,6	3,8	2,6	550	15	21	8,5	5,6	950	45	15	9,7
150 × 150	0,017	100	4	6,4	2,6	1,7	220	19	14	5,6	3,7	400	62	10	6,8
300 × 150	0,036	200	3	8,8	3,5	2,3	440	17	19	7,7	5,2	770	51	14	9,0
400 × 150	0,050	270	3	10	4,0	2,7	570	14	21	8,5	5,7	990	44	15	9,8
500 × 150	0,063	330	3	11	4,4	2,9	700	14	23	9,3	6,2	1200	40	16	11
600 × 150	0,076	390	3	12	4,7	3,1	820	13	25	9,9	6,6	1410	38	17	11
700 × 150	0,089	450	3	13	5,0	3,4	940	12	26	11	7,0	1610	36	18	12
800 × 150	0,102	510	3	13	5,3	3,5	1060	12	28	11	7,4	1800	35	19	13
200 × 200	0,032	180	4	8,4	3,4	2,2	390	17	18	7,3	4,8	700	53	13	8,7
300 × 200	0,050	270	3	10	4,0	2,7	580	15	22	8,6	5,8	1010	45	15	10
400 × 200	0,069	360	3	11	4,6	3,0	750	13	24	9,5	6,3	1300	39	16	11
500 × 200	0,087	440	3	12	5,0	3,3	920	12	26	10	6,9	1570	36	18	12
600 × 200	0,105	520	3	13	5,3	3,6	1080	12	28	11	7,4	1840	34	19	13
700 × 200	0,123	610	3	14	5,8	3,9	1240	11	29	12	7,9	2090	32	20	13
800 × 200	0,141	690	3	15	6,1	4,1	1400	11	31	12	8,3	2350	31	21	14
1000 × 200	0,177	850	3	17	6,7	4,5	1700	10	34	13	9,0	2830	28	22	15
300 × 300	0,079	400	3	12	4,7	3,2	850	13	25	10	6,7	1450	37	17	11
400 × 300	0,107	530	3	14	5,4	3,6	1100	12	28	11	7,5	1860	34	19	13
500 × 300	0,135	660	3	15	6,0	4,0	1340	11	30	12	8,1	2260	31	21	14
600 × 300	0,163	790	3	16	6,5	4,3	1580	10	33	13	8,7	2640	29	22	15
700 × 300	0,191	910	3	17	6,9	4,6	1810	10	35	14	9,2	3010	28	23	15
800 × 300	0,219	1030	2	18	7,3	4,9	2050	10	37	15	9,7	3360	26	24	16
1000 × 300	0,275	1260	2	20	8,0	5,3	2480	9	39	16	11	4060	24	26	17

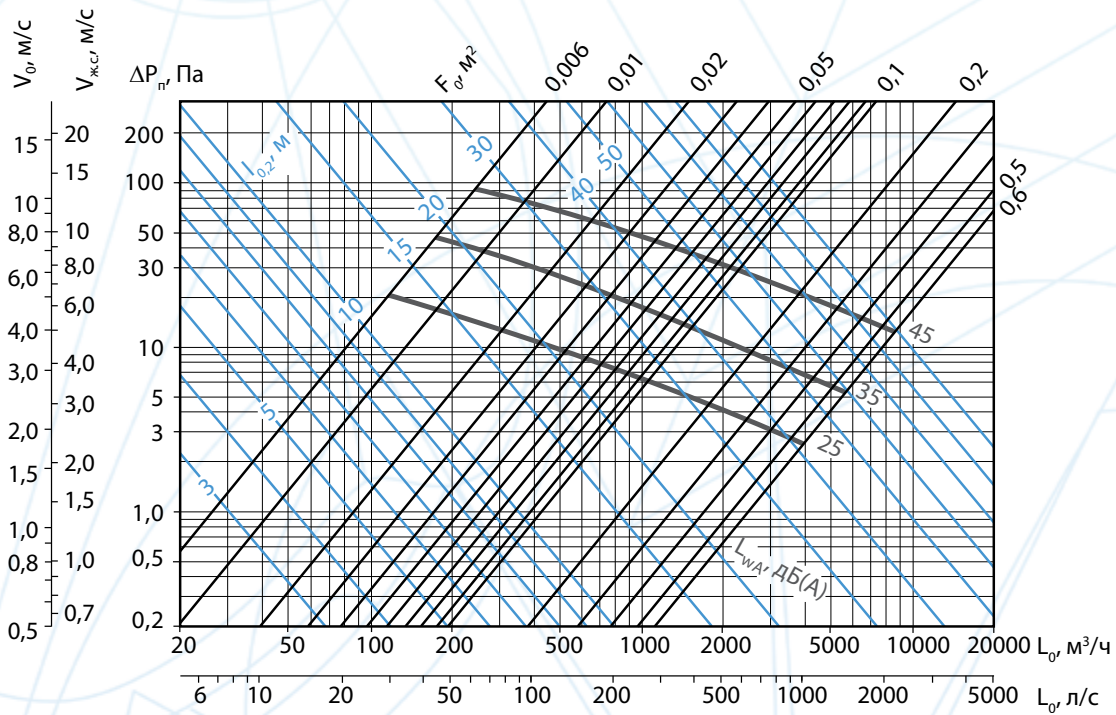
При настипании струи на поверхность её дальность увеличивается в 1,4 раза.

В воздухораспределителях АВР-К (с регулятором расхода) значения ΔP_п и L_{WA} (из таблицы и графика) корректируются:

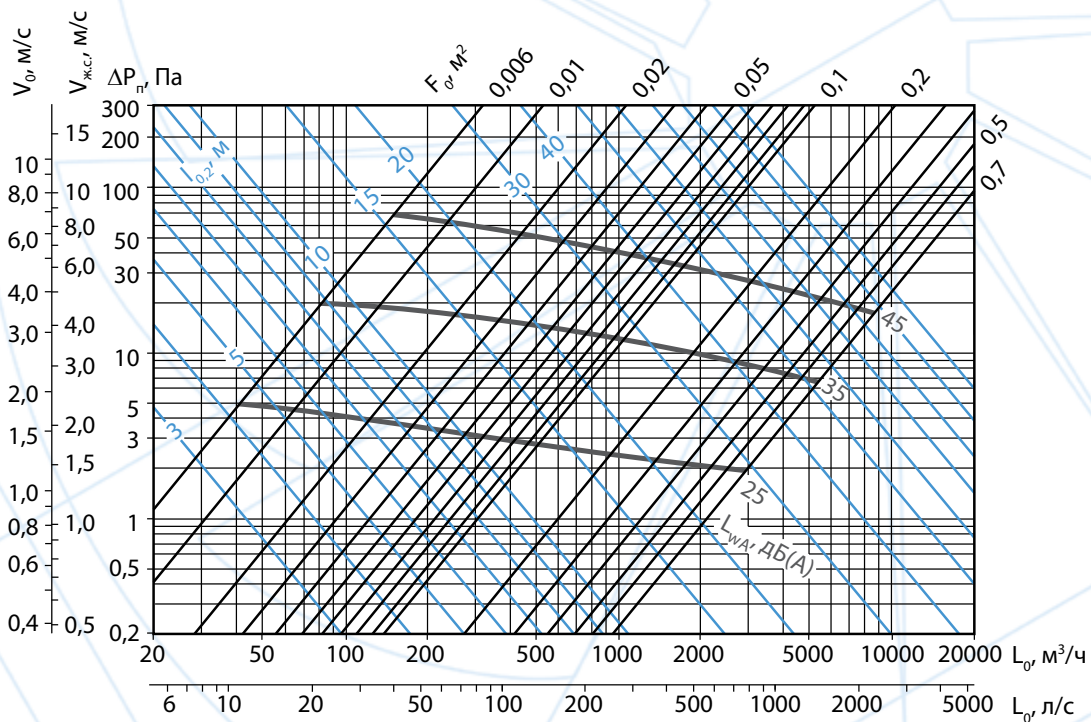
$$\Delta P_{п}^{ABP-K} = K \cdot \Delta P_{п}$$

$$L_{WA}^{ABP-K} = L_{WA} + \Delta L_{WA}$$

% открытия регулятора расхода	100%	50%	30%
	β = 0°	β = 60°	β = 90°
K	1,1	2,5	7,1
ΔL _{WA}	0	7	20



Аэродинамические и акустические характеристики решёток АЛН-К, АЛР-К при подаче или удалении воздуха в помещениях (корректировку значений ΔP_p и L_{wA} для АЛР-К см. на стр. 26)



Аэродинамические и акустические характеристики решёток АВН-К, АВР-К при подаче или удалении воздуха в помещениях (корректировку значений ΔP_p и L_{wA} для АВР-К см. на стр. 27)